

УДК 539.219.3; 539.4; 538.931—405

© 1992

О ЗАРЯДАХ НА ДВИЖУЩИХСЯ ТРЕЩИНАХ В НЕПОЛЯРНЫХ ДИЭЛЕКТРИКАХ

Д. В. Алексеев

Рассматривается распределение заряда вблизи вершины равномерно движущейся плоской трещины в неполярном диэлектрике, обусловленное бародиффузией заряженных дефектов (вакансий и междуузельных атомов). Вычислен главный вклад в распределении заряда, обусловленный $r^{-1/2}$ -сингулярностью механических напряжений в окрестности фронта трещины, а по нему вычислены линейные плотности заряда и дополнительного момента для трещин различных типов и различного вида разупорядоченности кристалла. Установлено, что для трещины отрыва отличны от нуля плотности заряда и компоненты дипольного момента параллельной скорости трещины, а для трещины поперечного сдвига отлична от нуля только компонента дипольного момента, перпендикулярная плоскости трещины. Даны порядковые оценки линейных плотностей заряда и дипольного момента через параметр дилатационного взаимодействия дефекта с полем упругих напряжений и коэффициенты интенсивностей напряжений.

В работах [1] рассматриваются некоторые физические эффекты, обусловленные бародиффузией носителей заряда (вакансий и междуузельных атомов) в неоднородном поле неравновесного ($\Delta P \neq 0$) давления.

В настоящей работе формализм [1] применяется для решения задачи о распределении заряда в окрестности фронта равномерно движущейся плоской трещины. Для описания трещины принимается макроскопический подход в рамках линейной теории упругости (см., например, [2]), рассматривающий трещину в виде полубесконечного разреза, вершина которого движется равномерно (рис. 1). В системе координат, в которой трещина покойится

$$\tilde{x} = x - l(t), \quad \tilde{y} = (1 - t^2/c^2)^{1/2} y,$$

давление является гармонической функцией с сингулярностью вида $r^{-1/2}$ [2]

$$P(r, \theta) = \frac{1}{\sqrt{8\pi r}} \begin{cases} -K_1(i) \cos(\theta/2) \\ K_{II}(i) \sin(\theta/2) \end{cases} + O(r^{1/2}). \quad (1)$$

Здесь $l(t)$ — положение вершины трещины в лабораторной системе координат, $r^2 = \tilde{x}^2 + \tilde{y}_2$, $\theta = \operatorname{arctg}(\tilde{y}/\tilde{x})$, c — предельная скорость распространения трещины, $K_{I, II}(i)$ — коэффициенты интенсивности напряжений. Индекс I относится к трещине нормального отрыва, индекс II — к трещине поперечного (плоского) сдвига.

Далее удобно работать в безразмерных координатах

$$\xi = \frac{x - vct}{a_D}, \quad \eta = \frac{\sqrt{1 - v^2}}{a_D} y, \quad \rho^2 = \xi^2 + \eta^2, \quad (2)$$

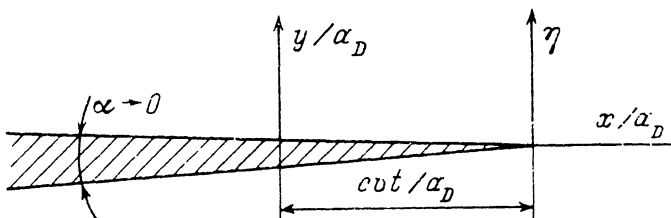


Рис. 1. Модель трещины и связь между системами координат (x, y) и (ξ, η) .

где $v = i/c$ — безразмерная скорость трещины; a_D — длина экранирования, различающаяся в рассматриваемых ниже моделях числовым множителем.

Распределение заряда вычисляется как реакция подсистемы носителей заряда на обусловленное движением трещины неравновесное давление.

1. Электрические характеристики трещины в кристалле с одним типом носителей заряда

Для простоты вычислений рассмотрим вначале модель кристалла, электроперенос в котором осуществляется носителями с зарядом q , взаимодействующими с полем упругих напряжений посредством изотропного размерного взаимодействия, характеризуемого дилатационным параметром (см., например, [3]). Сужение формализма [1] на данную модель приводит в лабораторной системе координат к следующему уравнению для возмущения распределения носителей $\delta n(x) = n(x) - n_0$:

$$\left\{ \frac{\partial}{\partial t} - D \left(\Delta + \frac{1}{a_D^2} \right) \right\} \delta n(x) = \chi \Delta P(x), \quad (3)$$

где D — коэффициент диффузии носителей, $a_D^2 = k_B T \epsilon / 4\pi q^2 n_0$, $\chi = Dw_0/k_B T$.

После подстановки (1) в (3) и перехода к безразмерным координатам (2) уравнение для стационарного (не зависящего явно от t , $\partial \delta n(\xi, \eta)/\partial t = 0$) возмущения распределения носителей принимает вид

$$\left\{ \frac{\partial^2}{\partial \xi^2} + \lambda v \frac{\partial}{\partial \xi} + (1 - v^2) \frac{\partial^2}{\partial \eta^2} - 1 \right\} \delta n(\xi, \eta) = \frac{\chi}{D} \mathcal{P}(\xi, \eta), \quad (4)$$

где обусловленное неравновесным давлением возмущение

$$\mathcal{P}(\xi, \eta) = \frac{3v^2 \rho^{-5/2}}{8\sqrt{2\pi} a_D} \begin{Bmatrix} -K_I(v) \cos(5\theta/2) \\ K_{II}(v) \sin(5\theta/2) \end{Bmatrix} [1 + O(\rho)] \quad (5)$$

и введен параметр $\lambda = c a_D / D$.

Для оценки пространственной локализации возмущения плотности носителей найдем фундаментальное решение (4), которое ищем в виде интеграла Фурье

$$G(\xi, \eta) = \int \frac{d^2 k}{(2\pi)^2} \tilde{G}(k) \exp(i k_1 \xi + i k_2 \eta). \quad (6)$$

Подстановка (6) в уравнение вида (4), в котором \mathcal{P} заменено на двумерную δ -функцию Дирака, для Фурье-компоненты $G(k)$ дает

$$\begin{aligned}\tilde{G}(\mathbf{k}) &= \frac{-(x/D)}{k_1^2 + (1 - \nu^2) k_2^2 - i\lambda\nu k_1 + 1} = \\ &= -\frac{\chi}{D} \int_0^\infty d\alpha \exp \left\{ -\alpha (1 + k_1^2 + (1 - \nu^2) k_2^2 - i\lambda\nu k_1) \right\}\end{aligned}\quad (7)$$

(представление квадратичных знаменателей в виде интеграла — стандартный прием, используемый в теории поля; см., например, [4]).

Подстановка интегрального представления (7) в (6) и вычисление всех интегралов после перестановки порядка интегрирования по \mathbf{k} и α позволяет выразить $G(\xi, \eta)$ через функцию Макдональда

$$G(\xi, \eta) = -\frac{\chi \exp(-\lambda\nu\xi/2)}{D2\pi n\sqrt{1-\nu^2}} K_0 \left[\left\{ (1 + (\lambda\nu/2)^2) (\xi^2 + \eta^2/(1 - \nu^2)) \right\}^{1/2} \right]. \quad (8)$$

Отметим, что фундаментальное решение (8) обладает свойством

$$\partial G(\xi, \eta)/\partial\eta|_{\eta=0} = 0,$$

гарантирующим обращение в нуль потока носителей через поверхность трещины.

Поскольку для типичных ионных кристаллов ($a_D \sim 10^{-(5+6)}$ см, $D \sim 10^{-7}$ см²/с, $c \sim 10^5$ см/с) параметр $\lambda \sim 10^6 \gg 1$, характер отклика для не очень медленных трещин ($\nu \sim 1/\lambda$) можно оценить, используя асимптотики функции Макдональда при больших значениях переменной (см., например, [5]). Подстановка асимптотик в (8) дает

$$\begin{aligned}G &\underset{\xi \rightarrow +\infty}{\sim} |\xi|^{-1/2} e^{-\xi\nu\lambda}, \\ G &\underset{\xi \rightarrow -\infty}{\sim} |\xi|^{-1/2} e^{-|\xi|\lambda\nu}, \\ G &\underset{|\eta| \rightarrow \infty}{\sim} \frac{\exp(-|\eta| \lambda\nu/2 \sqrt{1-\nu^2})}{(\lambda\nu |\eta| \sqrt{1-\nu^2})^{1/2}},\end{aligned}\quad (9)$$

откуда видно, что возмущение плотности носителей локализовано в узкой зоне в окрестности трещины (рис. 2).

Вычислим линейные плотности заряда и дипольного момента трещины, обусловленные стационарным распределением носителей

$$Q = \int d^2 \mathbf{x} q\delta n(\mathbf{x}),$$

$$D_x = \int d^2 \mathbf{x} (x - l(t)) q\delta n(\mathbf{x}),$$

$$D_y = \int d^2 \mathbf{x} y q\delta n(\mathbf{x}).$$

(10)

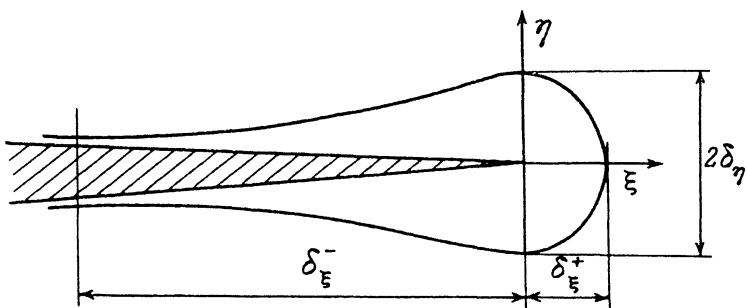


Рис. 2. Зона локализации возмущения в окрестности движущейся трещины для $\lambda\nu \gg 1$.
 $\delta_\eta \sim \sqrt{1 - \nu^2}/\lambda\nu$, $\delta_\xi^+ \sim 1/\lambda\nu$, $\delta_\xi^- \sim \lambda\nu$.

Переходя в (10) к переменным (ξ, η) и далее к пространственным Фурье-компонентам, приведем (10) к виду

$$Q = \frac{qa_D^2}{\sqrt{1 - \nu^2}} \left\langle \lim_{k \rightarrow 0} \widetilde{\delta n(k)} \right\rangle,$$

$$D_x = \frac{qa_D^3}{\sqrt{1 - \nu^2}} \left\langle \lim_{k \rightarrow 0} i \frac{\partial \widetilde{\delta n(k)}}{\partial k_1} \right\rangle,$$

$$D_y = \frac{qa_D^3}{1 - \nu^2} \left\langle \lim_{k \rightarrow 0} i \frac{\partial \widetilde{\delta n(k)}}{\partial k_2} \right\rangle, \quad (11)$$

где $\langle \dots \rangle$ обозначает усреднение по углу в k -пространстве, а Фурье-компоненты стационарного возмущения плотности носителей

$$\delta n(k) = \widetilde{G}(k) \widetilde{\mathcal{P}}(k)$$

выражаются через Фурье-компоненты функции отклика (7) и возмущения (5)

$$\begin{aligned} \widetilde{\mathcal{P}}(k) &= \frac{3\nu^2}{8\sqrt{2\pi}a_D} \int d\xi d\eta \frac{\exp(i k_1 \xi + i k_2 \eta)}{\rho^{5/2}} \times \\ &\times \begin{Bmatrix} -K_1(\nu) \cos(5\theta/2) \\ K_{II}(\nu) \sin(5\theta/2) \end{Bmatrix} = \\ &= \frac{3\nu^2}{8\sqrt{2\pi}a_D} \int_{-\pi}^{\pi} d\theta \int_0^{\infty} \frac{d\rho}{\rho^{3/2}} \exp\{ik\rho \cos(\theta - \bar{\theta})\} \times \\ &\times \begin{Bmatrix} -K_1(\nu) \cos(5\theta/2) \\ K_{II}(\nu) \sin(5\theta/2) \end{Bmatrix}. \quad (12) \end{aligned}$$

В (12) введены полярные координаты вектора k : $k^2 = k_1^2 + k_2^2$, $\theta = \operatorname{arctg}(k_2/k_1)$ — и выписана лишь Фурье-компонента главной сингулярной составляющей возмущения (5).

Ввиду расходимости интеграла по ρ на нижнем пределе введем для вычисления $\mathcal{P}(k)$ безразмерную длину обрезания ρ_c , смысл которой обсудим ниже, и представим (12) в виде

$$\begin{aligned} \mathcal{P}(k) = & \frac{3v^2}{8\sqrt{2\pi a_D}} \lim_{\epsilon \rightarrow 0} \int_{-\pi}^{\pi} d\theta \int_{\rho_c}^{\infty} \frac{d\rho}{\rho^{3/2}} \times \\ & \times \exp(i k \rho \cos(\theta - \bar{\theta}) - \epsilon \rho) \begin{cases} -K_I(v) \cos(5\theta/2) \\ K_{II}(v) \sin(5\theta/2) \end{cases}. \end{aligned} \quad (13)$$

Представление (13) позволяет легко получить необходимые для вычисления пределов (11) разложения $\mathcal{P}(k)$ по степеням k

$$\tilde{\mathcal{P}}(k) = -(3v^2 K_I(v)/8\sqrt{2\pi a_D}) (\rho_c^{-1/2} (8/5) - ik_1 \rho_c^{1/2} (80/21) + O(k^2)) \quad (14.a)$$

для трещины отрыва и

$$\tilde{\mathcal{P}}(k) = (3v^2 K_{II}(v)/8\sqrt{2\pi a_D}) (ik_2 \rho_c^{1/2} (80/21) + O(k^2)) \quad (14.b)$$

для трещины сдвига.

Подстановка (14) в (11) с учетом явного вида x и a_D^2 дает

$$Q = \frac{3\varepsilon(\omega/q)v^2}{20\pi\sqrt{2\pi}\sqrt{1-v^2}} \frac{K_I(v)}{\sqrt{L_c}}, \quad (15)$$

$$D_x = \frac{10\varepsilon(\omega/q)v^2}{28\pi\sqrt{2\pi}\sqrt{1-v^2}} \frac{K_I(v)}{\sqrt{L_c}} (\lambda v a_D (21/50) - L_c), \quad (16)$$

$$D_y = -\frac{10\varepsilon(\omega/q)v^2}{28\pi\sqrt{2\pi}(\sqrt{1-v^2})} K_{II}(v) \sqrt{L_c}, \quad (17)$$

где введена размерная длина обрезания $L_c = a_D \rho_c$.

Из выражений (15)–(17) видно, что линейные плотности заряда и дипольного момента отличны от нуля лишь для движущихся трещин и определяются характеристиками носителей (ω/q) и константами материала (λ , a_D , L_c , $K_{I,II}(v)$). Для оценок Q и D необходима конкретизация входящих в (15)–(17) параметров. Поскольку данные формулы получены в рамках модели трещины в виде идеального разреза, в качестве естественной длины обрезания L_c следует, по-видимому, принять величину раскрытия трещины δ , определяемую удельной работой разрушения G и пределом текучести σ_T (см., например, [2]).

$$\delta = G/\sigma_T \sim K_c^2/E\sigma_T \sim G/\sigma_T. \quad (18)$$

Здесь K_c — критическое значение коэффициента интенсивности напряжений (вязкость разрушения), G — удельная поверхностная энергия, E — модуль Юнга. В качестве оценки для $K_I(v)$ можно взять значение, следующее из решения Фройнда (см. гл. 17 в [6] и цитированные там оригинальные работы)

$$K_I(v) \sim \sqrt{1-v} K_c. \quad (19)$$

Подстановка (18), (19) в (15), (16) для типичных значений параметров: $\sigma_1 \sim 10^7$ Па, $G \sim 1$ Дж/м², $E \sim 10^{10}$ Па, $\omega \sim 10^{-29}$ м³, $q = q_c$ в случае быстрых ($v \sim 1$) трещин с учетом $\lambda a_D \gg \delta$ дает

$$Q \sim (\omega/q) \sqrt{E\sigma_T} \sim 10^{-11} \text{ Кл/м}, \quad D_x \sim Q \lambda a_D \sim 10^{-11} \text{ Кл}. \quad (20)$$

Ввиду отсутствия в настоящее время явных формул для $K_{II}(v)$ даже в самом полном справочнике [6] аналогичная оценка для D_y затруднительна. Однако по аналогии с (19), (20) можно предполагать отсутствие необходимости D_y при $v \rightarrow 1$ и из сравнения (16) с (17) предположить оценку $D_y \sim D_x(\delta / \lambda a_D)$.

Сравнение оценки заряда (20) с «линейной плотностью» заряда на неподвижной поре радиуса δ [7] $\bar{Q} \sim (\omega G/q\delta)$ дает $Q/\bar{Q} \sim \sqrt{E/\sigma_T} \sim 10^{3/2}$. Это показывает, что динамическая плотность заряда на быстрой трещине более чем на порядок превосходит статическую, обусловленную кривизной ее вершины.

2. Электрические характеристики трещин в кристаллах, разупорядоченных по Френкелю и по Шоттки

Проведем обобщение полученных результатов на случай кристаллов с двумя типами носителей заряда в рамках не носящих принципиального характера упрощающих предположений [1]: абсолютные величины зарядов носителей равны $q_+ = -q_- = q$; в кристаллах, разупорядоченных по Шоттки, дилатационные параметры вакансий равны $\omega_+ = \omega_- < 0$; в кристаллах, разупорядоченных по Френкелю, дилатационные параметры дефектов равны по абсолютной величине $\omega_+ = -\omega_- > 0$. Переписывая уравнения для плотностей носителей $n_{\pm}(x)$, как и в [1], в переменных $N = n_+ + n_-$, $\delta N = n_+ - n_-$ и переходя в систему координат (2), приведем уравнения стационарного режима к виду (в матричной форме)

$$\begin{aligned} & \left[\begin{pmatrix} \frac{\partial^2}{\partial \xi^2} + \lambda v \frac{\partial}{\partial \xi} + (1 - v^2) \frac{\partial^2}{\partial \eta^2} \\ \beta \left(\frac{\partial^2}{\partial \xi^2} + (1 - v^2) \frac{\partial^2}{\partial \eta^2} \right) \end{pmatrix}, \quad \beta \left(\frac{\partial^2}{\partial \xi^2} + (1 - v^2) \frac{\partial^2}{\partial \eta^2} - 1 \right) \right. \\ & \left. \times \begin{pmatrix} \beta \\ \beta \left(\frac{\partial^2}{\partial \xi^2} + (1 - v^2) \frac{\partial^2}{\partial \eta^2} \right) \end{pmatrix}, \quad \begin{pmatrix} \frac{\partial^2}{\partial \xi^2} + \lambda v \frac{\partial}{\partial \xi} + (1 - v^2) \frac{\partial^2}{\partial \eta^2} - 1 \\ \frac{\partial^2}{\partial \xi^2} + \lambda v \frac{\partial}{\partial \xi} + (1 - v^2) \frac{\partial^2}{\partial \eta^2} - 1 \end{pmatrix} \right] \\ & \times \begin{bmatrix} N(\xi, \eta) \\ \delta N(\xi, \eta) \end{bmatrix} = -\frac{x}{D} \mathcal{P}(\xi, \eta) \begin{cases} \begin{bmatrix} \beta \\ 1 \end{bmatrix}, \\ -\begin{bmatrix} 1 \\ \beta \end{bmatrix}, \end{cases} \end{aligned} \quad (21)$$

где верхняя строка в фигурных скобках соответствует кристаллу, разупорядоченному по Френкелю, а нижняя — кристаллу, разупорядоченному по Шоттки. Здесь в отличие от формул предыдущего раздела

$$D = (D_+ + D_-)/2, \quad \beta = (D_+ - D_-)/(D_+ + D_-),$$

$$a_D^2 = \epsilon k_B T / 8\pi q^2 n, \quad x = 2D\omega n / k_B T.$$

Уравнения (21) будем решать аналогично (4) при помощи перехода к пространственным Фурье-компонентам. Обозначая $\hat{N}_k \delta \hat{N}_k$ Фурье-компоненты фундаментальных откликов системы (21), представим их в виде

$$\begin{bmatrix} \hat{N}_k \\ \delta \hat{N}_k \end{bmatrix} = \hat{G}(k) \begin{bmatrix} \beta \\ 1 \\ -1 \\ \beta \end{bmatrix}, \quad (22)$$

где матричная функция Грина

$$\hat{G}(k) = \frac{(x/D)}{\det |A(k)|} \begin{bmatrix} (a_k + 1 - i\lambda\nu k_1), & -\beta(a_k + 1) \\ -\beta a_k, & (a_k - i\lambda\nu k_1) \end{bmatrix},$$

$$\det |A(k)| = (1 - \beta^2) a_k (a_k + 1) - (k_1 \lambda \nu)^2 - i\lambda\nu k_1 (2a_k + 1),$$

$$a_k = k_1^2 + (1 - \nu^2) k_2^2.$$

Вычисление электрических характеристик трещины проводим по формулам (11), в которых заменяем $\delta n(k)$ на

$$\delta N_k^{(F,S)} = \delta \hat{N}_k^{(F,S)} \hat{\mathcal{P}}(k),$$

где $\hat{\mathcal{P}}(k)$ дается выражением (14), а Фурье-компоненты фундаментальных откликов $\delta \hat{N}_k^{(F,S)}$ вычисляются согласно (22) и имеют вид

$$\begin{aligned} \hat{\delta N}_k^{(F)} &= \frac{x}{D} \frac{(1 - \beta^2) a_k - i\lambda\nu k_1}{\det |A(k)|}, \\ \hat{\delta N}_k^{(S)} &= \frac{\beta x}{D} \frac{i\lambda\nu k_1}{\det |A(k)|} \end{aligned} \quad (23)$$

для кристаллов, разупорядоченных по Френкелю и по Шоттки соответственно.

Не приводя громоздких промежуточных вычислений, подобных проведенным в разделе 1, выпишем конечные результаты в виде

$$Q^{(F)} = Q, \quad D_x^{(F)} = D_x, \quad D_y^{(F)} = D_y,$$

$$Q^{(S)} = -\beta Q^{(F)}, \quad D_y^{(S)} = -\beta D_y^{(F)},$$

$$D_x^{(S)} = -\beta D_x^{(F)} \left\{ 1 - \frac{21(1 - \beta^2)/5\lambda\nu}{21\lambda\nu/50 - L_c/a_D} \right\}, \quad (24)$$

где Q , D_x , D_y даются выражениями (15)–(17), в которых параметры D , a_D необходимо заменить значениями, указанными после формулы (21).

Из (24) видно, что в рассмотренном случае кристаллов, разупорядоченных по Френкелю и по Шоттки, остаются справедливыми все выводы относительно Q и D , сделанные в разделе 1. При этом в кристаллах, разупорядоченных по

Шоттки, электрические характеристики трещины отличны от нуля только при различии коэффициентов диффузии вакансий, переносящих противоположные заряды ($\beta \neq 0$).

3. Обсуждение

Асимптотики фундаментального отклика (9) позволяют построить следующую качественную картину формирования распределения заряда в окрестности трещины. Непроницаемость поверхности трещины для вакансий и междуузельных атомов приводит к их «выталкиванию» из области пространства, занимаемого трещиной в процессе ее распространения. Поскольку равновесное распределение носителей восстанавливается за время порядка $\tau_\sigma = a_D^2/D$, длина зоны возмущения простирается на расстояние $L_R \sim \tau_\sigma i$ позади вершины трещины. Ширина зоны возмущения определяется «длиной обрезания» — раскрытием трещины $\delta \sim G/\sigma_T$. Эффективная поверхностная плотность заряда на фронте быстрой трещины, как следует из (20), составляет

$$\sigma_q \sim \frac{Q}{\delta} \sim \frac{D_x}{\delta \tau_\sigma i} \sim \left(\frac{\omega}{q} \right) \frac{\sigma_T \sqrt{E \sigma_T}}{G} \sim 10^{-4} \text{ Кл/м}^2, \quad (25)$$

что по порядку величины соответствует наблюдаемым плотностям заряда при быстром сколе кристалла [8]. При этом величина линейной плотности заряда (20) соответствует наблюдаемой динамической плотности заряда на вершине движущейся трещины [9]. Отметим, что используемые для приведенной оценки формулы (15)–(17), (24) справедливы при любых скоростях трещины и в отличие от формул дислокационного механизма [9, 10] не приводят к бесконечной плотности заряда на покоящихся трещинах, но, напротив, дают обращение дипольного момента и заряда в нуль при $v=0$. Заметим, однако, что уже при скоростях трещины $v \sim (\sigma_T/E)^{1/4} c \sim 0.2c$ необходимо учитывать статический заряд, обусловленный кривизной поверхности трещины, аналогичный рассмотренному в [7] заряду на порах.

В заключение отметим, что привлечение развитого в данной работе формализма для интерпретации экспериментальных данных на кристаллах конечных размеров требует последовательного решения задачи о механических напряжениях, возникающих при распространении трещины в образце заданной формы. В настоящее время это возможно только на основе численных расчетов и требует самостоятельного исследования в различных конкретных случаях (см., например, [6]). Однако из соображений размерности на основе приведенных оценок можно заключить, что, например, заряд, приобретаемый при несимметричном расколе образца ширины H , может быть обусловлен несимметричным перераспределением поверхностной плотности заряда (25) и определяться формулой

$$Q \sim \left(\frac{\omega}{q} \right) \frac{\sigma_T}{G} \sqrt{E \sigma_T} f(h, H) v^2 \left(\frac{\tau_L}{\tau_\sigma} \right)^\alpha,$$

где $\tau_L = L/cv$ (L — длина образца), а бесразмерная функция f удовлетворяет условию $f(H/2, H) = 0$. При этом условие обращения заряда в нуль при $v=0$ и $L=0$ накладывает жесткое ограничение на показатель степени α : $0 < \alpha < 2$.

Список литературы

- [1] Алексеев Д. В. // ФТГ. 1991. Т. 33. № 10. С. 2828—2834; ФТГ. 1992. Т. 34. № 2. С. 365—371.
[2] Хеллан К. Введение в механику разрушения. М.: Мир, 1988. 364 с.

- [3] Косевич А. М. Физическая механика реальных кристаллов. Киев: Наукова думка, 1981. 327 с.
- [4] Береславский В. Б., Лифшиц Е. М., Питаевский Л. П. Квантовая электродинамика. М.: Наука, 1989. 723 с.
- [5] Олавер Ф. Асимптотические методы и специальные функции. М.: Наука, 1990. 528 с.
- [6] Справочник по коэффициентам интенсивности напряжений. Т. 1, 2 / Под ред. Ю. Мураками. М.: Мир, 1990. 1013 с.
- [7] Лифшиц И. М., Гегузин Я. Е., Косевич А. М. // И. М. Лифшиц. Избранные труды. Физика реальных кристаллов и неупорядоченных систем. М.: Наука, 1987. С. 508—528.
- [8] Головин Ю. И., Дьячек Т. П. // ФТТ. 1987. Т. 29. № 2. С. 552—554.
- [9] Гершензон Н. И., Зилнимиани Д. О., Манджаладзе П. В. и др. // ДАН СССР. 1986. Т. 288. № 1. С. 75—78.
- [10] Молоцкий М. И. // ФТТ. 1976. Т. 18. № 6. С. 1763—1764.

Кузбасский политехнический институт
Кемерово

Поступило в Редакцию
4 декабря 1991 г.